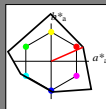


Eingabe: Farbmimetrisches Reflexions-System NCS11

für Buntton $h^* = lab^*h = 24/360 = 0.066$
 lab^*ch und lab^*nch

D65: Buntton R
LCH*Ma: 47 92 24
rgb*Ma: 1.0 0.0 0.0

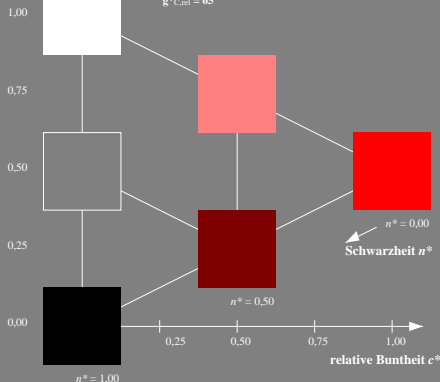
Dreiecks-Helligkeit t^*



%Umfang
 $u^*_{rel} = 149$
%Regularität
 $g^*_{H,rel} = 46$
 $g^*_{C,rel} = 65$

NCS11; adaptierte CIELAB-Daten

	$L^*=L^*_a$	a^*_a	b^*_a	$C^*_{ab,a}$	$h^*_{ab,a}$
RMa	47.15	84.64	37.25	92.48	24
JMa	91.37	-1.27	125.03	125.03	91
GMa	63.07	-114.28	25.35	117.06	167
G50BMa	59.47	-80.6	-33.45	87.28	203
BMa	49.01	3.65	-81.19	81.28	273
B50RMa	44.06	106.09	-73.93	129.32	325
NMa	10.99	0.0	0.0	0.0	0
WMa	95.41	0.0	0.0	0.0	0
RcIE	39.92	58.69	27.98	65.01	25
JcIE	81.26	-2.9	71.56	71.62	92
GcIE	52.23	-42.45	13.59	44.59	162
BcIE	30.57	1.35	-46.48	46.51	272

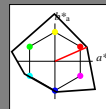


Ausgabe: Farbmimetrisches Reflexions-System NCS11

für Buntton $h^* = lab^*h = 24/360 = 0.066$
 lab^*ch und lab^*nch

D65: Buntton R
LCH*Ma: 47 92 24
rgb*Ma: 1.0 0.0 0.0

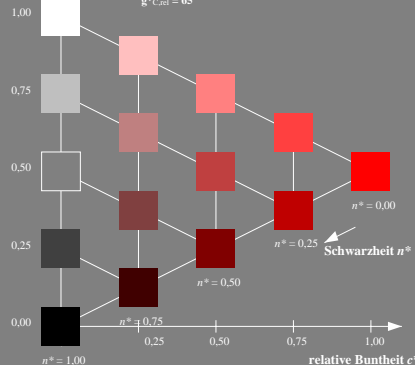
Dreiecks-Helligkeit t^*



%Umfang
 $u^*_{rel} = 149$
%Regularität
 $g^*_{H,rel} = 46$
 $g^*_{C,rel} = 65$

NCS11; adaptierte CIELAB-Daten

	$L^*=L^*_a$	a^*_a	b^*_a	$C^*_{ab,a}$	$h^*_{ab,a}$
RMa	47.15	84.64	37.25	92.48	24
JMa	91.37	-1.27	125.03	125.03	91
GMa	63.07	-114.28	25.35	117.06	167
G50BMa	59.47	-80.6	-33.45	87.28	203
BMa	49.01	3.65	-81.19	81.28	273
B50RMa	44.06	106.09	-73.93	129.32	325
NMa	10.99	0.0	0.0	0.0	0
WMa	95.41	0.0	0.0	0.0	0
RcIE	39.92	58.69	27.98	65.01	25
JcIE	81.26	-2.9	71.56	71.62	92
GcIE	52.23	-42.45	13.59	44.59	162
BcIE	30.57	1.35	-46.48	46.51	272



TG690-7, 3stufige Reihen für konstanten CIELAB Buntton 24/360 = 0.066 (links)

5stufige Reihen für konstanten CIELAB Buntton 24/360 = 0.066 (rechts)

BAM-Prüfvorlage TG69; Farbmimetrik-Systeme NCS11a & NCS11b
D65: 3 und 5stufige Farbreihen für 10 Bunttöne

input: olv* setrgbcolor
output: no change compared to input